



ครั้งที่

# การประชุมวิชาการระดับชาติ 11

Community-led

# Social Innovation

in the Era of Global Changes amidst  
Covid-19 Crisis

นวัตกรรมทางสังคมของชุมชนในยุค  
ของการเปลี่ยนแปลงโลกท่ามกลาง  
วิกฤตโควิด -19

19 กุมภาพันธ์ 2564



ร่วมกับ



PTG2 PARTNERING GROUP

## ตัวแบบเชิงคณิตศาสตร์การควบคุมการแพร่ระบาดของโรคไวรัสตับอักเสบ บี โดยการฉีดวัคซีน ในจังหวัดภูเก็ต

### Mathematical Model for Controlling the Spread of Hepatitis B by Vaccination in Phuket

ธีรเดช พรหมกุล<sup>\*1</sup> และ อนรรักษ์ วีระประเสริฐสกุล<sup>2</sup>

Teeradet Phromkul<sup>\*1</sup> and Anuruk Weraprasertsakun<sup>2</sup>

นักศึกษาปริญญาตรี สาขาวิชาคณิตศาสตร์ประยุกต์ คณะวิทยาศาสตร์และเทคโนโลยี มหาวิทยาลัยราชภัฏภูเก็ต<sup>1</sup>

Undergraduate Student in Applied Mathematics Faculty of Science and Technology Phuket Rajabhat University<sup>1</sup>

อาจารย์ สาขาวิชาคณิตศาสตร์ คณะครุศาสตร์ มหาวิทยาลัยราชภัฏภูเก็ต<sup>2</sup>

Faculty Member in Mathematics Faculty of Education Phuket Rajabhat University<sup>2</sup>

\* Corresponding author, e-mail: teeradet5796@gmail.com, อีเมล anurak.w@pkru.ac.th

#### บทคัดย่อ

การวิจัยครั้งนี้มีวัตถุประสงค์เพื่อศึกษาและพัฒนาตัวแบบเชิงคณิตศาสตร์การควบคุมการแพร่ระบาดของโรคไวรัสตับอักเสบบี โดยการฉีดวัคซีน ในจังหวัดภูเก็ต วิเคราะห์ตัวแบบโดยใช้วิธีมาตรฐาน ศึกษาจุดสมดุล ศึกษาเสถียรภาพของจุดสมดุล หาค่าตอบเชิงวิเคราะห์ ศึกษาอัตราการฉีดวัคซีนป้องกันการแพร่ระบาดของโรคไวรัสตับอักเสบบี ในตัวแบบเชิงคณิตศาสตร์ และหาค่าตอบเชิงตัวเลข ผลการวิเคราะห์ตัวแบบเชิงคณิตศาสตร์การควบคุมการแพร่ระบาดของโรคไวรัสตับอักเสบบี โดยการฉีดวัคซีน ในจังหวัดภูเก็ต เป็นปัจจัยที่ส่งผลต่อค่าระดับการติดเชื้อของตัวแบบเชิงคณิตศาสตร์ ซึ่งอัตราการฉีดวัคซีนป้องกันการแพร่ระบาดของโรค ไวรัสตับอักเสบบี ( $\alpha$ ) มีค่ามากขึ้นส่งผลให้ค่าระดับการติดเชื้อลดลงและยังพบว่า ถ้าประชากรที่เสี่ยงต่อการติดเชื้อ มีจำนวนน้อยที่ได้รับวัคซีนป้องกันโรคไวรัสตับอักเสบบี ( $\alpha$ ) จะส่งผลให้การแพร่ระบาดของโรคไวรัสตับอักเสบบีเพิ่มขึ้น และถ้าประชากรที่เสี่ยงต่อการติดเชื้อได้รับการฉีดวัคซีนป้องกันโรคไวรัสตับอักเสบบี ( $\alpha$ ) เป็นจำนวนมากขึ้น จะส่งผลให้การแพร่ระบาดของโรคลดลง จากการพัฒนาตัวแบบเชิงคณิตศาสตร์ของโรคไวรัสตับอักเสบบี โดยการฉีดวัคซีน สามารถนำผลจากการวิจัยใช้เป็นข้อมูลเบื้องต้นในการป้องกันโรคไวรัสตับอักเสบบีเพื่อลดจำนวนผู้ป่วยและใช้เป็นข้อมูลทางวิชาการให้กับหน่วยงานที่เกี่ยวข้อง

คำสำคัญ: ตัวแบบเชิงคณิตศาสตร์ โรคไวรัสตับอักเสบบี การฉีดวัคซีน การแพร่ระบาด

#### Abstract

The objective of this research was to study and develop a mathematical model for *Hepatitis B* outbreak control through vaccination in Phuket. The model was analyzed using a standard method of examining the equilibrium point and its consistency, analytical solutions, the vaccination rate against *Hepatitis B* outbreak, and numerical solutions. According to the mathematical model analysis results, it was found that *Hepatitis B* vaccination for the outbreak control had higher effect on *Hepatitis B* infection, resulting in lower infection level. Also, the lower rate of vaccinated people prone to *Hepatitis B* infection would result in an increase of the outbreak. Contrarily, the higher rate of vaccinated people would reduce the outbreak. The findings suggested that developing the mathematical model of *Hepatitis B* through vaccination can help reduce the number of patients and can serve as basic information for other involved organizations.

**Keywords:** Mathematical Model, *Hepatitis B*., Vaccination, Outbreak

## บทนำ

แบบจำลองทางคณิตศาสตร์เป็นวิธีการหนึ่งของการอธิบายสถานการณ์ในชีวิตจริงแบบภาษาคณิตศาสตร์ โดยการเปลี่ยนสถานการณ์ให้อยู่ในรูปของสมการและตัวแปร โดยจะให้ความสำคัญกับตัวแปรที่สำคัญ แบบจำลองมีจุดมุ่งหมายเพื่อจะจับองค์ประกอบที่สำคัญที่สุดของเหตุการณ์หนึ่ง ๆ เราสามารถจะตรวจดูความถูกต้องของกลไกคณิตศาสตร์หนึ่งที่ถูกสร้างขึ้นมาได้เพื่อจะตรวจสอบว่า แบบจำลองนั้นสะท้อนสถานการณ์ในชีวิตจริงหรือไม่ (แคทลียา ดวงเกตุ, 2556) จากการศึกษาตัวแบบเชิงคณิตศาสตร์การแพร่ระบาดของโรคต่าง ๆ ทำให้ทราบถึงการแพร่ระบาดและผลลัพธ์ที่ได้จากตัวแบบ ช่วยให้เข้าใจปัจจัยที่สามารถควบคุมการแพร่ระบาดของโรคได้ รวมทั้งมีความเข้าใจที่ถูกต้องเกี่ยวกับการติดต่อของโรค ดังนั้นผลลัพธ์ที่ได้ของการศึกษานี้จะเป็นประโยชน์อย่างมากในการลดความเสี่ยงของการติดเชื้อโรค การแพร่เชื้อและการควบคุมโรคระบาด โดยที่ตัวแบบเชิงคณิตศาสตร์แสดงให้เห็นถึงบทบาทและประโยชน์ของตัวแบบเชิงคณิตศาสตร์ที่มีส่วนช่วยในการแก้วิกฤตการณ์ที่กำลังเกิดขึ้นจากโรคภัยต่าง ๆ โดยจะจำลองประชากรที่เสี่ยงต่อการติดเชื้อ ตัวเชื้อโรค ตัวพาหะนำโรค และผู้ติดเชื้อ โดยแปลงข้อมูลให้อยู่ในรูปสมการทางคณิตศาสตร์ เพื่ออธิบายลักษณะของการระบาดและการดำเนินของโรคโดยที่ผู้วิจัยไม่จำเป็นต้องไปศึกษากับมนุษย์โดยตรงซึ่งอาจเกิดอันตรายต่อชีวิตของผู้วิจัยและผู้ป่วยได้ อีกทั้งยังช่วยลดงบประมาณสำหรับการเสริมมาตรการการรักษาและการป้องกันโรคตามความต้องการที่แท้จริงได้อย่างรวดเร็วและเหมาะสมที่สุดด้วย

ไวรัสตับอักเสบบีอยู่ด้วยกันหลายชนิด ชนิดเอ บี ซี ดี และ อี ซึ่งหนึ่งในไวรัสเหล่านี้เมื่อได้รับเชื้อแล้วมีแนวโน้มที่อาจเกิดภาวะตับอักเสบเรื้อรัง ตับแข็ง และอาจร้ายแรงจนกลายเป็นมะเร็งตับนั้น คือ ไวรัสตับอักเสบบีหรือเรียกว่า ไวรัสตับอักเสบบี โดยข้อมูลจากองค์การอนามัยโลกปี 2562 พบว่า ทั่วโลกมีผู้ป่วยภาวะตับอักเสบบีเรื้อรังมากกว่า 257 ล้านคน และในทุก ๆ ปีจะมีผู้ติดเชื้อไวรัสตับอักเสบบี มากกว่า 6 แสนรายเสียชีวิตเนื่องจากโรคแทรกซ้อนที่เกิดจากภาวะตับอักเสบบีเรื้อรังรวมทั้งโรคตับแข็งและมะเร็งตับ ส่วนประเทศไทยเป็นประเทศที่มีโรคไวรัสตับอักเสบบีอยู่มากแห่งหนึ่งของโลก โดยมีผู้ที่เป็พาหะหรือผู้ที่มีเชื้อไวรัสบีอยู่ในกระแสเลือดถึงร้อยละ 7 ของประชากรทั้งหมดหรือประมาณ 9 ล้านคน (ศูนย์ข้อมูลโรคติดต่อเชื้อและพาหะนำโรค, 2562) ในเขตพื้นที่จังหวัดภูเก็ตมีผู้ป่วยโรคมะเร็งตับส่วนใหญ่ ประมาณร้อยละ 90 มีประวัติเป็นโรคไวรัสตับอักเสบบีมาก่อน โดยเมื่อมีการรับเชื้อไวรัสตับอักเสบบีเข้าสู่ร่างกาย ส่วนมากผู้ที่ได้รับเชื้อจะไม่รู้ตัว เนื่องจากไม่มีอาการป่วยใด ๆ ปรากฏ การดำเนินของโรคจึงเป็นไปอย่างเงียบ ๆ บางรายอาจมีไข้หรือปวดเมื่อยตามเนื้อตัว ซึ่งทำให้เข้าใจผิดไปได้ว่าเป็นเพียงไข้หวัดธรรมดา โดยจังหวัดภูเก็ตจะเริ่มมีการให้ฉีดวัคซีนป้องกันตั้งแต่เด็ก แต่ยังคงมีประชากรในจังหวัดส่วนหนึ่งที่เป็นพาหะของโรคและสามารถแพร่เชื้อต่อไปเรื่อย ๆ เนื่องจากเพิ่งเริ่มมีการฉีดวัคซีนเมื่อปี พ.ศ.2535 ดังนั้นจะพบมากในคนที่มียอายุ 30 ปีขึ้นไป ซึ่งผู้ติดเชื้อจะไม่มีอาการแต่จะมีการดำเนินของโรคไปอย่างต่อเนื่อง ทำให้ผู้ป่วยไม่ได้ดูแลตนเองหรือไม่ได้รับการรักษาจากแพทย์อย่างถูกต้องตั้งแต่ต้นและมีความรู้เกี่ยวกับการป้องกันโรคน้อยจึงทำให้เกิดการแพร่เชื้อไปเรื่อย ๆ (อนุวัตร จิรวัดน-พานิช, 2562)

จากเหตุผลข้างต้นผู้วิจัยได้ตระหนักและเห็นประโยชน์ที่จะได้รับจากการวิจัยเรื่องตัวแบบเชิงคณิตศาสตร์การควบคุมการแพร่ระบาดของโรคไวรัสตับอักเสบบี โดยการฉีดวัคซีน จึงได้ศึกษาเกี่ยวกับการฉีดวัคซีนป้องกันเพื่อควบคุมการแพร่ระบาดของโรคไวรัสตับอักเสบบี ในจังหวัดภูเก็ต ให้เป็นปัจจัยสำคัญสำหรับการศึกษาในตัวแบบเชิงคณิตศาสตร์

## วัตถุประสงค์การวิจัย

1. เพื่อศึกษาและพัฒนาตัวแบบเชิงคณิตศาสตร์การควบคุมการแพร่ระบาดของโรคไวรัสตับอักเสบบี โดยการฉีดวัคซีน
2. เพื่อวิเคราะห์เสถียรภาพของตัวแบบเชิงคณิตศาสตร์การควบคุมการแพร่ระบาดของโรคไวรัสตับอักเสบบี โดยการฉีดวัคซีนในจังหวัดภูเก็ต

## วิธีการวิจัย

การดำเนินการวิจัยเรื่อง ตัวแบบเชิงคณิตศาสตร์การควบคุมการแพร่ระบาดของโรคไวรัสตับอักเสบบี โดยการฉีดวัคซีน ผู้วิจัยจะศึกษาและพัฒนาตัวแบบเชิงคณิตศาสตร์สำหรับการฉีดวัคซีนป้องกันการแพร่ระบาดของโรคไวรัสตับอักเสบบี โดยจะมีวิธีการดำเนินการ 4 ขั้นตอนดังนี้

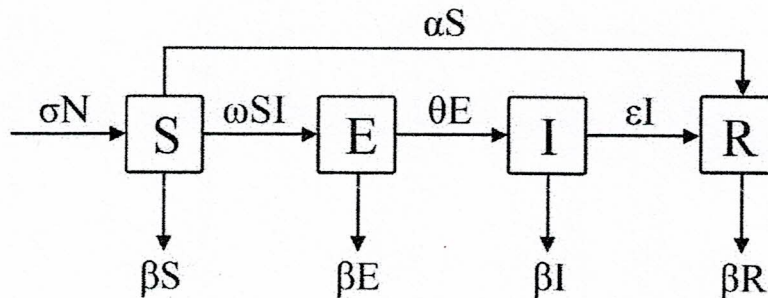
1. การพัฒนาตัวแบบเชิงคณิตศาสตร์ ได้ศึกษาตัวแบบเชิงคณิตศาสตร์ S E I R ซึ่งผู้วิจัยสนใจอัตราการฉีดวัคซีนป้องกันการแพร่ระบาดของโรคไวรัสตับอักเสบบี โดยผู้วิจัยได้พัฒนาตัวแบบเชิงคณิตศาสตร์สำหรับการฉีดวัคซีนป้องกันการ

แพร่ระบาดของโรคไวรัสตับอักเสบบี โดยผู้วิจัยได้ศึกษาเอกสารและงานวิจัยที่เกี่ยวกับโรคไวรัสตับอักเสบบี โดยกำหนดประชากรมนุษย์มีจำนวนคงที่ ซึ่งตัวแบบเชิงคณิตศาสตร์ดังกล่าวมีข้อตกลงดังนี้

แบ่งประชากรออกเป็น 4 กลุ่มคือ

- 1) กลุ่มคนที่เสี่ยงต่อการติดเชื้อ (susceptible: S)
- 2) กลุ่มคนที่ติดเชื้อแต่ไม่แสดงอาการ (Expose: E)
- 3) กลุ่มคนที่ติดเชื้อแสดงอาการ (Infectious: I)
- 4) กลุ่มคนที่หายจากโรค (Recovered: R)

โดยที่ผู้วิจัยสร้างตัวแบบเชิงคณิตศาสตร์การควบคุมการแพร่ระบาดของโรคไวรัสตับอักเสบบี โดยการฉีดวัคซีน จะได้ ดังนี้



รูปที่ 1 ความสัมพันธ์และองค์ประกอบของตัวแบบเชิงคณิตศาสตร์การควบคุมการแพร่ระบาดของโรคไวรัสตับอักเสบบี โดยการฉีดวัคซีนป้องกัน

เมื่อ S คือ จำนวนคนที่เสี่ยงต่อติดเชื้อโรค E คือ จำนวนคนที่ติดเชื้อโรคแต่ไม่แสดงอาการ I คือ จำนวนคนที่ติดเชื้อโรค R คือ จำนวนคนป่วยที่หายจากโรค  $\sigma$  คือ อัตราการเกิดใหม่ของประชากรมนุษย์  $\alpha$  คือ อัตราการฉีดวัคซีน  $\beta$  คือ อัตราการตายของประชากร  $\omega$  คือ อัตราการสัมผัสเชื้อ  $\theta$  คือ อัตราการฟักตัวของเชื้อ  $\epsilon$  คือ อัตราการหายจากโรค N คือ จำนวนประชากรมนุษย์ทั้งหมด ในจังหวัดภูเก็ต

2. การตรวจสอบตัวแบบเชิงคณิตศาสตร์ ผู้เชี่ยวชาญตรวจสอบตัวแบบเชิงคณิตศาสตร์การควบคุมการแพร่ระบาดของโรคไวรัสตับอักเสบบีโดยการฉีดวัคซีน เพื่อตรวจสอบความถูกต้องของตัวแบบตั้งนั้นจำเป็นต้องดำเนินการโดยให้ผู้เชี่ยวชาญที่เกี่ยวข้อง ได้แก่ ผู้ทรงคุณวุฒิทางคณิตศาสตร์ (ผศ.ดร.บัณฑิตย์ อ้นยงค์) และนักระบาดวิทยา (นายณภดล แก้วมัทธี) ตรวจสอบแผนภาพและสมการเชิงอนุพันธ์แบบไม่เชิงเส้น หลังจากนั้นจึงได้แก้ไขและปรับปรุงตามข้อเสนอแนะ (ภาพที่ 1) ได้ระบบสมการเชิงอนุพันธ์แบบไม่เชิงเส้น ดังสมการ (1)-(4)

$$\frac{dS}{dt} = \sigma N - \alpha S - \omega SI - \beta S \quad (1)$$

$$\frac{dE}{dt} = \omega SI - \theta E - \beta E \quad (2)$$

$$\frac{dI}{dt} = \theta E - \epsilon I - \beta I \quad (3)$$

$$\frac{dR}{dt} = \alpha S + \epsilon I - \beta R \quad (4)$$

นำตัวแบบเชิงคณิตศาสตร์ข้างต้นมาวิเคราะห์เสถียรภาพของตัวแบบต่อไป

3. การวิเคราะห์ตัวแบบเชิงคณิตศาสตร์ เป็นการวิเคราะห์ตามวิธีมาตรฐาน (Standard Method) โดยการศึกษาจุดสมดุลและศึกษาเสถียรภาพของจุดสมดุลเพื่อเงื่อนไขของพารามิเตอร์ที่เหมาะสมของจุดสมดุล หาค่าระดับการติดเชื้อโดยใช้วิธี Next Generation Method หาคำตอบเชิงวิเคราะห์และคำตอบเชิงตัวเลข โดยวิธี Numerical Analysis ดังวิธีการต่อไปนี้

3.1 การวิเคราะห์ตามวิธีการมาตรฐาน (Standard Method) การวิเคราะห์ตามวิธีมาตรฐานเป็นการศึกษาหาจุดสมดุล ค่าระดับการติดเชื้อ และเสถียรภาพของระบบ ได้ดังนี้

3.1.1 การหาจุดสมดุล (Equilibrium Point)

การหาจุดสมดุลดำเนินการโดยจัดสมการเชิงอนุพันธ์ไม่เชิงเส้นของตัวแบบเชิงคณิตศาสตร์ให้เท่ากับศูนย์ คือ  $\frac{dS}{dt} = 0, \frac{dE}{dt} = 0, \frac{dI}{dt} = 0$  และ  $\frac{dR}{dt} = 0$  จากสมการ (1)-(4) ตามลำดับ จะได้ค่า ณ จุดสมดุลไม่มีโรค (Disease Free Equilibrium Point:  $E_0$ ) โดยกำหนดให้  $E = 0$  จะได้  $I = 0$  และ  $R = 0$  และแทนในสมการเชิงอนุพันธ์ไม่เชิงเส้น จะได้  $S = 1$  ดังนั้น  $E_0(S, E, I, R) = E_0(1, 0, 0, 0)$  และ ณ จุดสมดุลที่มีโรค (Endemic Equilibrium Point:  $E_1$ ) โดยกำหนดให้  $E^* > 0$  จะได้  $E_0(S^*, E^*, I^*, R^*)$

3.1.2 การหาค่าระดับการติดเชื้อ (Basic Reproductive Number:  $R_0$ )

ค่าระดับการติดเชื้อเป็นค่าเฉลี่ยที่ผู้ป่วยหนึ่งคนสามารถทำให้คนกลุ่มเสี่ยงป่วยเป็นจำนวนกี่คนในช่วงของเวลาที่เขายังป่วยอยู่ โดยใช้วิธีการ Next Generation Method โดยจัดสมการเชิงอนุพันธ์ไม่เชิงเส้น จากสมการ (1)-(4) จะได้เมตริกซ์ในรูป  $\frac{dX}{dt} = F(X) - V(X)$  เพื่อหาค่า spectral radius ( $R_0$ ) จากเมตริกซ์  $\rho(FV^{-1})$  ซึ่ง  $F(X)$  และ  $V(X)$  ได้จากอนุพันธ์ย่อย (Partial derivative) ดังนี้

$$X = \begin{bmatrix} S \\ E \\ I \\ R \end{bmatrix}, F = \left[ \frac{d(F(X_i))}{dX_i} \right] \text{ และ } V = \left[ \frac{d(V(X_i))}{dX_i} \right]$$

เมื่อ  $F(X)$  คือ เมตริกซ์ของผู้ป่วยเพิ่มขึ้น และ  $V(X)$  คือ เมตริกซ์ของผู้ป่วยที่เปลี่ยนสถานะ จากกลุ่มหนึ่งไปเป็นอีกกลุ่มหนึ่งโดยพิจารณาค่าระดับการติดเชื้อ  $R_0$  ดังนี้

$$F(X) = \begin{bmatrix} 0 \\ \omega SI \\ 0 \\ 0 \end{bmatrix} \text{ และ } V(X) = \begin{bmatrix} -\sigma N + \alpha S + \omega SI + \beta S \\ \theta E + \beta E \\ -\theta E + \varepsilon I + \beta I \\ -\alpha S - \varepsilon I + \beta R \end{bmatrix}$$

ดังนั้น  $FV^{-1}(E_0) = \begin{bmatrix} 0 & 0 & 0 & 0 \\ 0 & \frac{\omega \sigma N \theta}{(\theta + \beta)(\varepsilon + \beta)(\alpha + \beta)} & \frac{\omega \sigma N}{(\varepsilon + \beta)(\alpha + \beta)} & 0 \\ 0 & 0 & 0 & 0 \\ 0 & 0 & 0 & 0 \end{bmatrix}$

$$FV^{-1}(E_0) - \lambda I_4 = \begin{bmatrix} -\lambda & 0 & 0 & 0 \\ 0 & \frac{\omega \sigma N \theta}{(\theta + \beta)(\varepsilon + \beta)(\alpha + \beta)} - \lambda & \frac{\omega \sigma N}{(\varepsilon + \beta)(\alpha + \beta)} & 0 \\ 0 & 0 & -\lambda & 0 \\ 0 & 0 & 0 & -\lambda \end{bmatrix}$$

$$\det[FV^{-1}(E_0) - \lambda I_4] = \begin{vmatrix} -\lambda & 0 & 0 & 0 \\ 0 & \frac{\omega\sigma N\theta}{(\theta+\beta)(\varepsilon+\beta)(\alpha+\beta)} - \lambda & \frac{\omega\sigma N}{(\varepsilon+\beta)(\alpha+\beta)} & 0 \\ 0 & 0 & -\lambda & 0 \\ 0 & 0 & 0 & -\lambda \end{vmatrix}$$

จะได้  $0 = (-\lambda)(-\lambda)(-\lambda) \left( \frac{\omega\sigma N\theta}{(\theta+\beta)(\varepsilon+\beta)(\alpha+\beta)} - \lambda \right)$

โดย  $\lambda_1 = 0, \lambda_2 = 0, \lambda_3 = 0$  และ  $\lambda_4 = \frac{\omega\sigma N\theta}{(\theta+\beta)(\varepsilon+\beta)(\alpha+\beta)}$

คำนวณหาค่า spectral radius ของ  $FV^{-1}(E_0)$  เขียนแทนด้วย  $\rho(FV^{-1}(E_0)) = \frac{\omega\sigma N\theta}{(\theta+\beta)(\varepsilon+\beta)(\alpha+\beta)}$

จะได้  $R_0 = \frac{\omega\sigma N\theta}{(\theta+\beta)(\varepsilon+\beta)(\alpha+\beta)}$

โดยพิจารณาค่า Spectral Radius ( $R_0$ ) ดังนี้

1.  $R_0 > 1$       แสดงว่า โรคมีการระบาดเพิ่มขึ้น (Epidemic)
2.  $R_0 = 1$       แสดงว่า โรคเริ่มเสถียร (Endemic)
3.  $R_0 < 1$       แสดงว่า โรคไม่มีการระบาด

**3.1.3 การวิเคราะห์เสถียรภาพ (Stability Analysis)** เป็นการหาค่าลักษณะเฉพาะ (Eigen Value) เพื่ออธิบายคำตอบของสมการเกี่ยวกับค่าความสมดุลสำหรับการตรวจสอบว่าเป็น Local Asymptotically Stable มี 2 กรณี ดังนี้

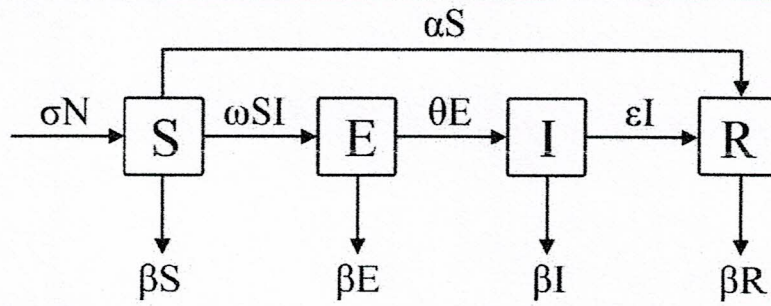
1) Local Asymptotically Stable ณ จุด  $E_0$  ของจุดสมดุลที่ไม่มีโรคโดยการตรวจสอบค่าลักษณะเฉพาะของจาโคเบียนเมตริกซ์ ณ สภาวะที่ไม่มีโรค  $E_0$  ซึ่งจะได้สมการลักษณะเฉพาะจาก  $\det(J_0 - \lambda I) = 0, J_0$  คือ จาโคเบียนเมตริกซ์ ณ จุด  $E_0$  โดยมีข้อกำหนดว่า  $\lambda$  ทุกค่าส่วนจริงจะเป็นลบซึ่งจะสอดคล้องตามเงื่อนไขของ Routh-Hurwitz ซึ่งจะส่งผลให้ค่า  $R_0 < 1$

2) Local Asymptotically Stable ณ จุด  $E_1$  ของจุดสมดุลที่มีโรคโดยการตรวจสอบค่าลักษณะเฉพาะของจาโคเบียนเมตริกซ์ ณ สภาวะที่มีการแพร่ระบาดของโรค  $E_1$  ซึ่งจะได้สมการลักษณะเฉพาะจาก  $\det(J_1 - \lambda I) = 0, J_1$  คือ จาโคเบียนเมตริกซ์ ณ จุด  $E_1$  โดยมีข้อกำหนดว่า  $\lambda$  ทุกค่าส่วนจริงจะเป็นลบซึ่งจะสอดคล้องตามเงื่อนไขของ Routh-Hurwitz ซึ่งจะส่งผลให้ค่า  $R_0 > 1$

**3.2 การวิเคราะห์เชิงตัวเลข (Numerical Analysis)** การวิเคราะห์เชิงตัวเลขเป็นการพิจารณาหาค่าพารามิเตอร์ที่เหมาะสมที่ทำให้จุดสมดุลที่ไม่มีโรค (Disease Free Equilibrium Point:  $E_0$ ) และจุดสมดุลที่เกิดการแพร่ระบาดของโรค (Endemic Equilibrium Point:  $E_1$ ) ที่ทำให้ระบบสมการเชิงอนุพันธ์ไม่เชิงเส้นเป็น Local Asymptotically Stable เพื่อนำค่าพารามิเตอร์ไปคำนวณหาค่าตอบเชิงตัวเลขโดยจำลอง แบบด้วยโปรแกรม Matlab (สุกัลยา ศรีสุริฉิน, 2559)

#### 4. การสร้างตัวแบบและวิเคราะห์ตัวแบบ

การสร้างและวิเคราะห์ตามวิธีมาตรฐานจากการวิจัยตัวแบบเชิงคณิตศาสตร์การควบคุมการแพร่ระบาดของโรคไวรัสตับอักเสบบี โดยการฉีดวัคซีน ในจังหวัดภูเก็ต สามารถสร้างตัวแบบเชิงคณิตศาสตร์โดยผู้วิจัยสนใจศึกษาอัตราการฉีดวัคซีนป้องกันการแพร่ระบาดของโรคไวรัสตับอักเสบบี (รูปที่ 2)



รูปที่ 2 แผนภาพตัวแบบเชิงคณิตศาสตร์การควบคุมการแพร่ระบาดของโรคไวรัสตับอักเสบบี โดยการฉีดวัคซีน

- เมื่อ
- S คือ จำนวนคนที่เสี่ยงต่อติดเชื้อโรค
  - E คือ จำนวนคนที่ติดเชื้อโรคแต่ไม่แสดงอาการ
  - I คือ จำนวนคนที่ติดเชื้อโรค
  - R คือ จำนวนคนป่วยที่หายจากโรค
  - $\sigma$  คือ อัตราการเกิดใหม่ของประชากรมนุษย์
  - $\alpha$  คือ อัตราการฉีดวัคซีน
  - $\beta$  คือ อัตราการตายของประชากร
  - $\omega$  คือ อัตราการสัมผัสเชื้อ
  - $\theta$  คือ อัตราการฟักตัวของเชื้อ
  - $\epsilon$  คือ อัตราการหายจากโรค
  - N คือ จำนวนประชากรมนุษย์ทั้งหมด ในจังหวัดภูเก็ต

จากรูปที่ 2 ผู้วิจัยได้ส่งให้ผู้เชี่ยวชาญที่เกี่ยวข้อง ได้แก่ ผู้ทรงคุณวุฒิทางคณิตศาสตร์และบุคลากรทางการแพทย์ ตรวจสอบแผนภาพและสมการเชิงอนุพันธ์แบบไม่เชิงเส้น หลังจากนั้นจึงได้แก้ไขและปรับปรุงตามข้อเสนอแนะ แล้วนำตัวแบบเชิงคณิตศาสตร์ที่ได้มาวิเคราะห์ตามวิธีมาตรฐาน ได้ระบบสมการเชิงอนุพันธ์แบบไม่เชิงเส้น ดังสมการ (5)-(8)

$$\frac{dS}{dt} = \sigma N - \alpha S - \omega SI - \beta S \quad (5)$$

$$\frac{dE}{dt} = \omega SI - \theta E - \beta E \quad (6)$$

$$\frac{dI}{dt} = \theta E - \epsilon I - \beta I \quad (7)$$

$$\frac{dR}{dt} = \alpha S + \epsilon I - \beta R \quad (8)$$

โดยที่  $N = S + E + I + R$

#### 4.1 การหาจุดสมดุล (Equilibrium Point)

เนื่องจาก  $\frac{dX}{dt} = F(X)$  โดยที่  $F = \begin{bmatrix} f_1 \\ f_2 \\ f_3 \\ f_4 \end{bmatrix}$  และ  $X = (S, E, I, R)^T$  กำหนดให้จำนวนประชากรทั้งหมดเป็น

ค่าคงที่ นั่นคือ  $\frac{dN}{dt} = 0$  และ  $\frac{dN}{dt} = \frac{dS}{dt} + \frac{dE}{dt} + \frac{dI}{dt} + \frac{dR}{dt}$

ดังนั้น  $0 = \sigma N - \beta N$  จะได้  $\sigma = \beta$

เมื่อกำหนดให้  $\frac{dS}{dt} = 0, \frac{dE}{dt} = 0, \frac{dI}{dt} = 0, \frac{dR}{dt} = 0$ , จากสมการ (1), (2), (3) และ (4) จะได้

$$S^* = \frac{\sigma N}{(\alpha + \omega I^* + \beta)}, E^* = \frac{\omega \sigma N I^* (\theta + \beta)}{\alpha + \omega I^* + \beta}, I^* = \frac{\theta \omega \sigma N (\theta + \beta) (\varepsilon + \beta) - \alpha - \beta}{\omega}, R^* = \frac{\alpha S^* + \varepsilon I^*}{\beta} \quad (5)$$

เสถียรภาพของจุดสมดุลสามารถพิจารณาค่าลักษณะเฉพาะของจาโคเบียนเมตริกซ์ จากสมการเชิงอนุพันธ์ไม่เชิงเส้น (1)-(4) สามารถแปลงเป็นจาโคเบียนเมตริกซ์ ได้ดังนี้

$$J = \begin{bmatrix} -\alpha - \omega I - \beta & 0 & -\omega S & 0 \\ \omega I & -\theta - \beta & \omega S & 0 \\ 0 & \theta & -\varepsilon - \beta & 0 \\ \alpha & 0 & \varepsilon & -\beta \end{bmatrix}$$

และพิจารณาค่าลักษณะเฉพาะได้จาก  $\det(J - \lambda I_4) = 0$  เมื่อ  $I_4$  คือ เมตริกซ์เอกลักษณ์ขนาด  $4 \times 4$

#### 4.1.1 การหาจุดสมดุลไม่มีโรค (Disease Free Equilibrium Point)

กำหนดให้  $E = 0$  จะได้  $I = 0$  และ  $R = 0$  จะได้  $S = 1$  ดังนั้น  $E_0(S, E, I, R) = E_0(1, 0, 0, 0)$

เสถียรภาพของระบบ (Stability of Systems) ที่จุด  $E_0$  โดยหาลักษณะเฉพาะ  $\det(J_0 - \lambda I_4) = 0$  เพื่อหาค่า  $\lambda$  เมื่อ  $\lambda$  เป็นค่าลักษณะเฉพาะ (Eigen Values) และ  $I_4$  คือ เมตริกซ์เอกลักษณ์ขนาด  $4 \times 4$  ดังนี้

$$J_0 = \begin{bmatrix} -\alpha - \beta & 0 & -\omega S & 0 \\ \omega I & -\theta - \beta & \omega S & 0 \\ 0 & \theta & -\varepsilon - \beta & 0 \\ \alpha & 0 & \varepsilon & -\beta \end{bmatrix}$$

$$\det(J_0 - \lambda I_4) = \begin{bmatrix} -\alpha - \beta - \lambda & 0 & -\omega S & 0 \\ \omega I & -\theta - \beta - \lambda & \omega S & 0 \\ 0 & \theta & -\varepsilon - \beta - \lambda & 0 \\ \alpha & 0 & \varepsilon & -\beta - \lambda \end{bmatrix}$$

จะได้  $\lambda_1 = -\beta,$

$$\lambda_2 = -\alpha - \beta,$$

$$\lambda_3 = \frac{-2\beta - \varepsilon - \theta - \sqrt{(2\beta + \varepsilon + \theta)^2 - 4(\beta^2 + \varepsilon\beta + \varepsilon\theta + \theta\beta - \theta\omega)}}{2}$$

$$\text{และ } \lambda_4 = \frac{-2\beta - \varepsilon - \theta + \sqrt{(2\beta + \varepsilon + \theta)^2 - 4(\beta^2 + \varepsilon\beta + \varepsilon\theta + \theta\beta - \theta\omega)}}{2}$$

#### 4.1.2 การหาจุดสมดุลที่มีโรค (Disease Equilibrium Point)

กำหนดให้  $E^* \neq 0$  และ  $E^* > 0$  จะได้  $E_0 = (S^*, E^*, I^*, R^*)$  เสถียรภาพของระบบ (Stability of Systems) ที่จุด  $E_1$  โดยหาลักษณะเฉพาะ  $\det(J_1 - \lambda I_4) = 0$  เพื่อหาค่า  $\lambda$  เมื่อ  $\lambda$  เป็นค่าลักษณะเฉพาะ (Eigen Values) และ  $I_4$  คือ เมตริกซ์เอกลักษณ์ขนาด  $4 \times 4$  ดังนี้

$$J_1 = \begin{bmatrix} -\alpha - \omega I - \beta & 0 & -\omega S & 0 \\ \omega I & -\theta - \beta & \omega S & 0 \\ 0 & \theta & -\varepsilon - \beta & 0 \\ \alpha & 0 & \varepsilon & -\beta \end{bmatrix}$$



$$\det(J_1 - \lambda I_4) = \begin{vmatrix} -\alpha - \omega I - \beta - \lambda & 0 & -\omega S & 0 \\ \omega I & -\theta - \beta - \lambda & \omega S & 0 \\ 0 & \theta & -\varepsilon - \beta - \lambda & 0 \\ \alpha & 0 & \varepsilon & -\beta - \lambda \end{vmatrix}$$

จะได้

$$\lambda_1 = -\beta$$

$$\begin{aligned} \lambda_2 = & \frac{1}{3} \left( -\alpha - 3\beta - \delta - \theta - \omega I^* \right) + \left( 2^{1/3} \left( -\alpha^2 + \alpha\delta - \delta^2 + \alpha\theta + \delta\theta - \theta^2 - 3\theta\omega S^* - 2\alpha\omega I^* + \delta\omega I^* + \theta\omega I^* - (\omega I^*)^2 \right) \right) \\ & / \left( 3(2\alpha^3 - 3\alpha^2\delta - 3\alpha\delta^2 + 2\delta^3 - 3\alpha^2\theta + 12\alpha\delta\theta - 3\delta^2\theta - 3\alpha\theta^2 - 3\delta\theta^2 + 2\theta^3 - 18\alpha\theta\omega S^* + 27\beta\theta\omega S^* + 9\delta\theta\omega S^* \right. \\ & + 9\theta\theta\omega S^* - 27\omega\theta\omega S^* + 6\alpha^2\omega I^* - 6\alpha\delta\omega I^* - 3\delta^2\omega I^* - 6\alpha\theta\omega I^* + 12\delta\theta\omega I^* - 3\theta^2\omega I^* + 9\theta\omega S^*\omega I^* + 6\alpha(\omega I^*)^2 \\ & \left. - 3\delta(\omega I^*)^2 - 3\theta(\omega I^*)^2 + 2(\omega I^*)^3 + \right. \\ & \left. \sqrt{4 \left( -\alpha^2 + \alpha\delta - \delta^2 + \alpha\theta + \delta\theta - \theta^2 - 3\theta\omega S^* - 2\alpha\omega I^* + \delta\omega I^* + \theta\omega I^* - (\omega I^*)^2 \right)^3} \right) \\ & + \left( 2\alpha^3 - 3\alpha^2\delta - 3\alpha\delta^2 + 2\delta^3 - 3\alpha^2\theta + 12\alpha\delta\theta - 3\delta^2\theta - 3\alpha\theta^2 - 3\delta\theta^2 + 2\theta^3 - 18\alpha\theta\omega S^* + 27\beta\theta\omega S^* + \right. \\ & \left. 9\delta\theta\omega S^* + 9\theta\theta\omega S^* - 27\omega\theta\omega S^* + 6\alpha^2\omega I^* - 6\alpha\delta\omega I^* - 3\delta^2\omega I^* - 6\alpha\theta\omega I^* + \right. \\ & \left. 12\delta\theta\omega I^* - 3\theta^2\omega I^* + 9\theta\omega S^*\omega I^* + 6\alpha(\omega I^*)^2 - 3\delta(\omega I^*)^2 - 3\theta(\omega I^*)^2 + 2(\omega I^*)^3 \right)^{1/3} \\ & \frac{1}{32^{1/3}} \left( 2\alpha^3 - 3\alpha^2\delta - 3\alpha\delta^2 + 2\delta^3 - 3\alpha^2\theta + 12\alpha\delta\theta - 3\delta^2\theta - 3\alpha\theta^2 - 3\delta\theta^2 \right. \\ & \left. + 2\theta^3 - 18\alpha\theta\omega S^* + 27\beta\theta\omega S^* + 9\delta\theta\omega S^* + 9\theta\theta\omega S^* - 27\omega\theta\omega S^* + 6\alpha^2\omega I^* - 6\alpha\delta\omega I^* - \right. \\ & \left. 3\delta^2\omega I^* - 6\alpha\theta\omega I^* + 12\delta\theta\omega I^* - 3\theta^2\omega I^* + 9\theta\omega S^*\omega I^* + 6\alpha(\omega I^*)^2 - 3\delta(\omega I^*)^2 - 3\theta(\omega I^*)^2 + 2(\omega I^*)^3 + \right. \\ & \left. \sqrt{4 \left( -\alpha^2 + \alpha\delta - \delta^2 + \alpha\theta + \delta\theta - \theta^2 - 3\theta\omega S^* - 2\alpha\omega I^* + \delta\omega I^* + \theta\omega I^* - (\omega I^*)^2 \right)^3} \right) + \\ & \left( 2\alpha^3 - 3\alpha^2\varepsilon - 3\alpha\varepsilon^2 + 2\varepsilon^3 - 3\alpha^2\theta + 12\alpha\varepsilon\theta - 3\varepsilon^2\theta - 3\alpha\theta^2 - 3\delta\theta^2 + 2\theta^3 - 18\alpha\theta\omega S^* + 27\beta\theta\omega S^* + \right. \\ & \left. 9\varepsilon\theta\omega S^* + 9\theta\theta\omega S^* - 27\omega\theta\omega S^* + 6\alpha^2\omega I^* - 6\alpha\varepsilon\omega I^* - 3\varepsilon^2\omega I^* - 6\alpha\theta\omega I^* + 12\varepsilon\theta\omega I^* - \right. \\ & \left. 3\theta^2\omega I^* + 9\theta\omega S^*\omega I^* + 6\alpha(\omega I^*)^2 - 3\delta(\omega I^*)^2 - 3\theta(\omega I^*)^2 + 2(\omega I^*)^3 \right)^{1/3} \end{aligned}$$

$$\lambda_3 = \frac{1}{3} \left( -\alpha - 3\beta - \varepsilon - \theta - \omega I^* \right) - \left( (1 + i\sqrt{3}) \left( -\alpha^2 + \alpha\varepsilon - \varepsilon^2 + \alpha\theta + \varepsilon\theta - \theta^2 - 3\theta\omega S^* - 2\alpha\omega I^* + \varepsilon\omega I^* + \theta\omega I^* - (\omega I^*)^2 \right) \right)$$

$$/ \left( (32)^{2/3} (2\alpha^3 - 3\alpha^2\varepsilon - 3\alpha\varepsilon^2 + 2\varepsilon^3 - 3\alpha^2\theta + 12\alpha\varepsilon\theta - 3\varepsilon^2\theta - 3\alpha\theta^2 - 3\varepsilon\theta^2 + 2\theta^3 - 18\alpha\theta\omega S^* + 27\beta\theta\omega S^* + 9\varepsilon\theta\omega S^* + 9\theta\theta\omega S^* - 27\omega\theta\omega S^* + 6\alpha^2\omega I^* - 6\alpha\varepsilon\omega I^* - 3\varepsilon^2\omega I^* - 6\alpha\theta\omega I^* + 12\varepsilon\theta\omega I^* - 3\theta^2\omega I^* + 9\theta\omega S^*\omega I^* + 6\alpha(\omega I^*)^2 - 3\varepsilon(\omega I^*)^2 - 3\theta(\omega I^*)^2 + 2(\omega I^*)^3 + \sqrt{4 \left( -\alpha^2 + \alpha\varepsilon - \varepsilon^2 + \alpha\theta + \varepsilon\theta - \theta^2 - 3\theta\omega S^* - 2\alpha\omega I^* + \varepsilon\omega I^* + \theta\omega I^* - (\omega I^*)^2 \right)^3 + (2\alpha^3 - 3\alpha^2\varepsilon - 3\alpha\varepsilon^2 + 2\varepsilon^3 - 3\alpha^2\theta + 12\alpha\varepsilon\theta - 3\varepsilon^2\theta - 3\alpha\theta^2 - 3\varepsilon\theta^2 + 2\theta^3 - 18\alpha\theta\omega S^* + 27\beta\theta\omega S^* + 9\varepsilon\theta\omega S^* + 9\theta\theta\omega S^* - 27\omega\theta\omega S^* + 6\alpha^2\omega I^* - 6\alpha\varepsilon\omega I^* - 3\varepsilon^2\omega I^* - 6\alpha\theta\omega I^* + 12\varepsilon\theta\omega I^* - 3\theta^2\omega I^* + 9\theta\omega S^*\omega I^* + 6\alpha(\omega I^*)^2 - 3\varepsilon(\omega I^*)^2 - 3\theta(\omega I^*)^2 + 2(\omega I^*)^3)^2} \right)^{1/3} + \frac{1}{62^{1/3}} (1 - i\sqrt{3}) (2\alpha^3 - 3\alpha^2\varepsilon - 3\alpha\varepsilon^2 + 2\varepsilon^3 - 3\alpha^2\theta + 12\alpha\varepsilon\theta - 3\varepsilon^2\theta - 3\alpha\theta^2 - 3\varepsilon\theta^2 + 2\theta^3 - 18\alpha\theta\omega S^* + 27\beta\theta\omega S^* + 9\varepsilon\theta\omega S^* + 9\theta\theta\omega S^* - 27\omega\theta\omega S^* + 6\alpha^2\omega I^* - 6\alpha\varepsilon\omega I^* - 3\varepsilon^2\omega I^* - 6\alpha\theta\omega I^* + 12\varepsilon\theta\omega I^* - 3\theta^2\omega I^* + 9\theta\omega S^*\omega I^* + 6\alpha(\omega I^*)^2 - 3\varepsilon(\omega I^*)^2 - 3\theta(\omega I^*)^2 + 2(\omega I^*)^3 + \sqrt{4 \left( -\alpha^2 + \alpha\varepsilon - \varepsilon^2 + \alpha\theta + \varepsilon\theta - \theta^2 - 3\theta\omega S^* - 2\alpha\omega I^* + \varepsilon\omega I^* + \theta\omega I^* - (\omega I^*)^2 \right)^3 + (2\alpha^3 - 3\alpha^2\varepsilon - 3\alpha\varepsilon^2 + 2\varepsilon^3 - 3\alpha^2\theta + 12\alpha\varepsilon\theta - 3\varepsilon^2\theta - 3\alpha\theta^2 - 3\varepsilon\theta^2 + 2\theta^3 - 18\alpha\theta\omega S^* + 27\beta\theta\omega S^* + 9\varepsilon\theta\omega S^* + 9\theta\theta\omega S^* - 27\omega\theta\omega S^* + 6\alpha^2\omega I^* - 6\alpha\varepsilon\omega I^* - 3\varepsilon^2\omega I^* - 6\alpha\theta\omega I^* + 12\varepsilon\theta\omega I^* - 3\theta^2\omega I^* + 9\theta\omega S^*\omega I^* + 6\alpha(\omega I^*)^2 - 3\varepsilon(\omega I^*)^2 - 3\theta(\omega I^*)^2 + 2(\omega I^*)^3)^2} \right)^{1/3}$$

$$\lambda_4 = \frac{1}{3}(-\alpha - 3\beta - \varepsilon - \theta - \omega I^*) - \left( (1 - i\sqrt{3}) \left( -\alpha^2 + \alpha\varepsilon - \varepsilon^2 + \alpha\theta + \varepsilon\theta - \theta^2 - 3\theta\omega S^* - 2\alpha\omega I^* + \varepsilon\omega I^* + \theta\omega I^* - (\omega I^*)^2 \right) \right) / (32^{2/3} (2\alpha^3 - 3\alpha^2\varepsilon - 3\alpha\varepsilon^2 + 2\varepsilon^3 - 3\alpha^2\theta + 12\alpha\varepsilon\theta - 3\varepsilon^2\theta - 3\alpha\theta^2 - 3\varepsilon\theta^2 + 2\theta^3 - 18\alpha\theta\omega S^* + 27\beta\theta\omega S^* + 9\varepsilon\theta\omega S^* + 9\theta\theta\omega S^* - 27\omega\theta\omega S^* + 6\alpha^2\omega I^* - 6\alpha\varepsilon\omega I^* - 3\varepsilon^2\omega I^* - 6\alpha\theta\omega I^* + 12\varepsilon\theta\omega I^* - 3\theta^2\omega I^* + 9\theta\omega S^*\omega I^* + 6\alpha(\omega I^*)^2 - 3\varepsilon(\omega I^*)^2 - 3\theta(\omega I^*)^2 + 2(\omega I^*)^3 + \sqrt{4(-\alpha^2 + \alpha\varepsilon - \varepsilon^2 + \alpha\theta + \varepsilon\theta - \theta^2 - 3\theta\omega S^* - 2\alpha\omega I^* + \varepsilon\omega I^* + \theta\omega I^* - (\omega I^*)^2)} + (2\alpha^3 - 3\alpha^2\varepsilon - 3\alpha\varepsilon^2 + 2\varepsilon^3 - 3\alpha^2\theta + 12\alpha\varepsilon\theta - 3\varepsilon^2\theta - 3\alpha\theta^2 - 3\varepsilon\theta^2 + 2\theta^3 - 18\alpha\theta\omega S^* + 27\beta\theta\omega S^* + 9\varepsilon\theta\omega S^* + 9\theta\theta\omega S^* - 27\omega\theta\omega S^* + 6\alpha^2\omega I^* - 6\alpha\varepsilon\omega I^* - 3\varepsilon^2\omega I^* - 6\alpha\theta\omega I^* + 12\varepsilon\theta\omega I^* - 3\theta^2\omega I^* + 9\theta\omega S^*\omega I^* + 6\alpha(\omega I^*)^2 - 3\varepsilon(\omega I^*)^2 - 3\theta(\omega I^*)^2 + 2(\omega I^*)^3))^2)^{1/3} + \frac{1}{62^{1/3}}(1 - i\sqrt{3})(2\alpha^3 - 3\alpha^2\varepsilon - 3\alpha\varepsilon^2 + 2\varepsilon^3 - 3\alpha^2\theta + 12\alpha\varepsilon\theta - 3\varepsilon^2\theta - 3\alpha\theta^2 - 3\varepsilon\theta^2 + 2\theta^3 - 18\alpha\theta\omega S^* + 27\beta\theta\omega S^* + 9\varepsilon\theta\omega S^* + 9\theta\theta\omega S^* - 27\omega\theta\omega S^* + 6\alpha^2\omega I^* - 6\alpha\varepsilon\omega I^* - 3\varepsilon^2\omega I^* - 6\alpha\theta\omega I^* + 12\varepsilon\theta\omega I^* - 3\theta^2\omega I^* + 9\theta\omega S^*\omega I^* + 6\alpha(\omega I^*)^2 - 3\varepsilon(\omega I^*)^2 - 3\theta(\omega I^*)^2 + 2(\omega I^*)^3 + \sqrt{4(-\alpha^2 + \alpha\varepsilon - \varepsilon^2 + \alpha\theta + \varepsilon\theta - \theta^2 - 3\theta\omega S^* - 2\alpha\omega I^* + \varepsilon\omega I^* + \theta\omega I^* - (\omega I^*)^2)} + (2\alpha^3 - 3\alpha^2\varepsilon - 3\alpha\varepsilon^2 + 2\varepsilon^3 - 3\alpha^2\theta + 12\alpha\varepsilon\theta - 3\varepsilon^2\theta - 3\alpha\theta^2 - 3\varepsilon\theta^2 + 2\theta^3 - 18\alpha\theta\omega S^* + 27\beta\theta\omega S^* + 9\varepsilon\theta\omega S^* + 9\theta\theta\omega S^* - 27\omega\theta\omega S^* + 6\alpha^2\omega I^* - 6\alpha\varepsilon\omega I^* - 3\varepsilon^2\omega I^* - 6\alpha\theta\omega I^* + 12\varepsilon\theta\omega I^* - 3\theta^2\omega I^* + 9\theta\omega S^*\omega I^* + 6\alpha(\omega I^*)^2 - 3\varepsilon(\omega I^*)^2 - 3\theta(\omega I^*)^2 + 2(\omega I^*)^3))^2)^{1/3}$$

#### 4.3 การวิเคราะห์เชิงตัวเลข (Numerical Analysis)

ผู้วิจัยได้วิเคราะห์เชิงตัวเลขโดยการนำค่าพารามิเตอร์ที่ได้จากการสำรวจข้อมูลเกี่ยวกับการแพร่ระบาดของโรคไวรัสตับอักเสบบี ซึ่งมีค่าตามตารางดังนี้

ตารางที่ 1 ค่าพารามิเตอร์ที่ได้จากการสำรวจข้อมูลเกี่ยวกับการแพร่ระบาดของโรคไวรัสตับอักเสบบี

ข้อความ	สัญลักษณ์	ค่าพารามิเตอร์	หน่วย
อัตราการเกิดของประชากร	$\sigma$	$4.81480 \times 10^{-5}$	คนต่อวัน
อัตราการมีตัวอ่อน	$\alpha$	0 - 1	คนต่อวัน
อัตราการเสียชีวิตของประชากร	$\beta$	$1.77045 \times 10^{-5}$	คนต่อวัน
อัตราการสัมผัสเชื้อ	$\omega$	$9 \times 10^{-3}$	คนต่อวัน
อัตราการฟักตัวของเชื้อ	$\theta$	$3.288 \times 10^{-1}$	คนต่อวัน
อัตราการหายจากโรค	$\varepsilon$	$2.466 \times 10^{-1}$	คนต่อวัน
จำนวนประชากรทั้งหมด	N	416581	คน

\*สาธารณสุขจังหวัดภูเก็ต

จากสมการลักษณะเฉพาะ (Eigen Value:  $\lambda$ ) สมการการหาค่าระดับการติดเชื้อ (Basic Reproductive Number:  $R_0$ ) และค่าพารามิเตอร์ที่เหมาะสมจากตารางข้างต้นจะได้รับคำตอบเป็นค่าลักษณะเฉพาะซึ่งสอดคล้องกับเงื่อนไขของ Routh-Hurwitz Criteria และได้ค่าระดับการติดเชื้อได้ (ตารางที่ 2)

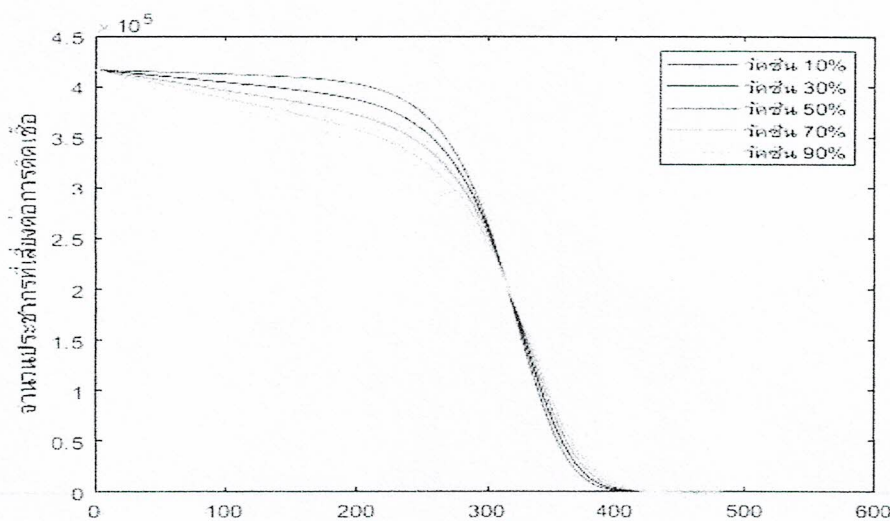
ตารางที่ 2 ความสัมพันธ์ระหว่างค่าพารามิเตอร์ของอัตราการฉีดวัคซีนป้องกันโรคไวรัสตับอักเสบ บี ( $\alpha$ ) กับค่าระดับการติดเชื้อ ( $R_0$ )

อัตราการฉีดวัคซีน ( $\alpha$ )	ค่าระดับการติดเชื้อ ( $R_0$ )
0.1	7.31805
0.3	2.43964
0.5	1.46381
0.7	1.04559
0.71	1.03086
0.72	1.01655
0.73	1.00262
0.731	1.00125
0.7319	1.00002
0.7320	0.99988
0.9	0.81324
1	0.73192

จากตารางที่ 2 พบว่า ค่าอัตราการฉีดวัคซีนป้องกันโรคไวรัสตับอักเสบ บี ( $\alpha$ ) เป็นปัจจัยหนึ่งที่ส่งผลต่อการเปลี่ยนแปลงของตัวแบบเชิงคณิตศาสตร์การควบคุมการแพร่ระบาดของโรคไวรัสตับอักเสบ บี โดยการฉีดวัคซีน ในจังหวัดภูเก็ต ซึ่งอัตราการฉีดวัคซีนป้องกันโรคไวรัสตับอักเสบ บี ( $\alpha$ ) มีค่ามากขึ้นส่งผลให้ค่าระดับการติดเชื้อ ( $R_0$ ) ลดลง

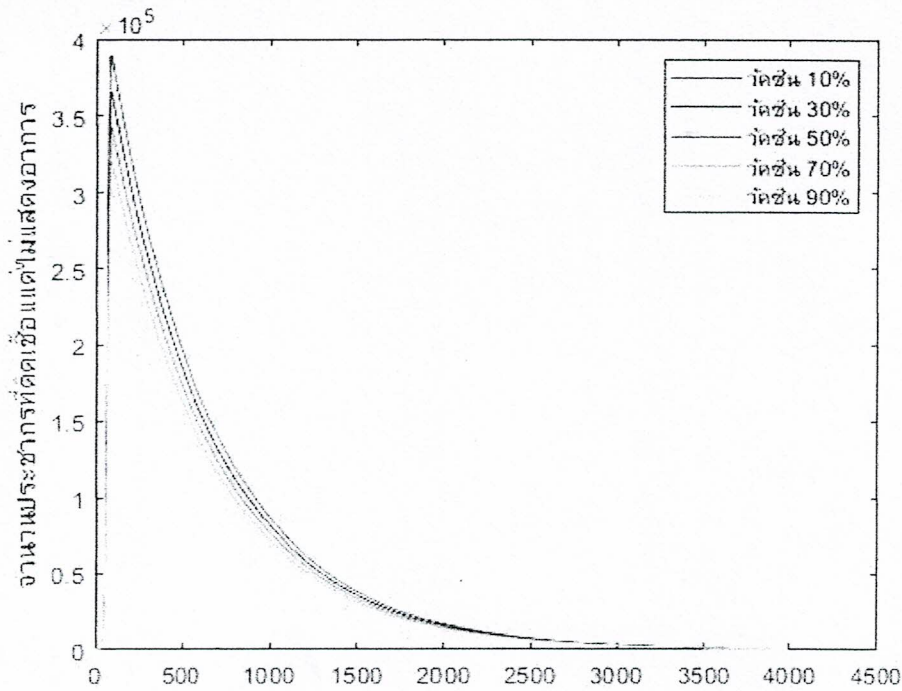
เมื่อพิจารณาเสถียรภาพของระบบ ณ จุดสมดุลที่ไม่มีโรค จะพบว่า ค่าลักษณะเฉพาะ  $\lambda_1 = -0.0000177045$ ,  $\lambda_2 = -0.740018$ ,  $\lambda_3 = -0.318736$ ,  $\lambda_4 = -0.219538$  ซึ่งทุกส่วนจริงมีค่าเป็นลบส่งผลให้คำตอบจะลู่เข้าสู่  $E_0 = (416581, 0, 0, 0)$  ดังนั้นจุดสมดุลที่ไม่มีโรค  $E_0$  จะเป็น Local Asymptotically (Brauer, Driessche, & Wu, 2008)

เมื่อพิจารณาเสถียรภาพของระบบ ณ จุดสมดุลที่มีโรค จะพบว่า ค่าลักษณะเฉพาะ  $\lambda_1 = -0.0000177045$ ,  $\lambda_2 = -17.8327$ ,  $\lambda_3 = -0.109001$  จะเป็น Local Asymptotically



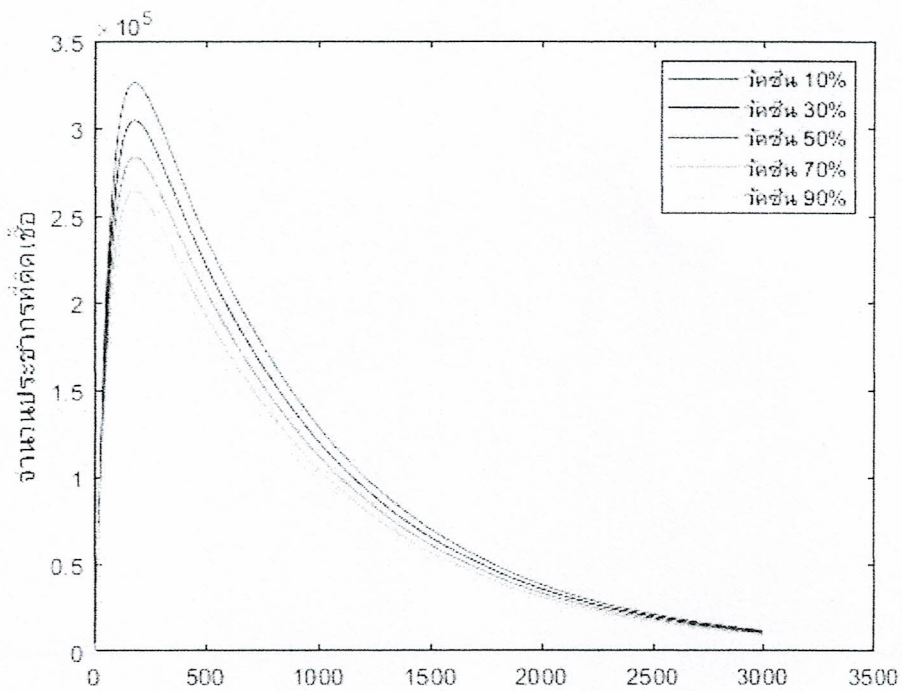
ณ เวลา  $t$  ใด ๆ

รูปที่ 3 อัตราการเปลี่ยนแปลงของจำนวนประชากรที่เสี่ยงต่อการติดเชื้อ ( $S$ ) ณ เวลา  $t$  ใด ๆ เมื่อค่า  $\Phi = 0.1, 0.3, 0.5, 0.7$  และ  $0.9$  ตามลำดับ ณ เสถียรภาพของจุดสมดุลที่มีโรค



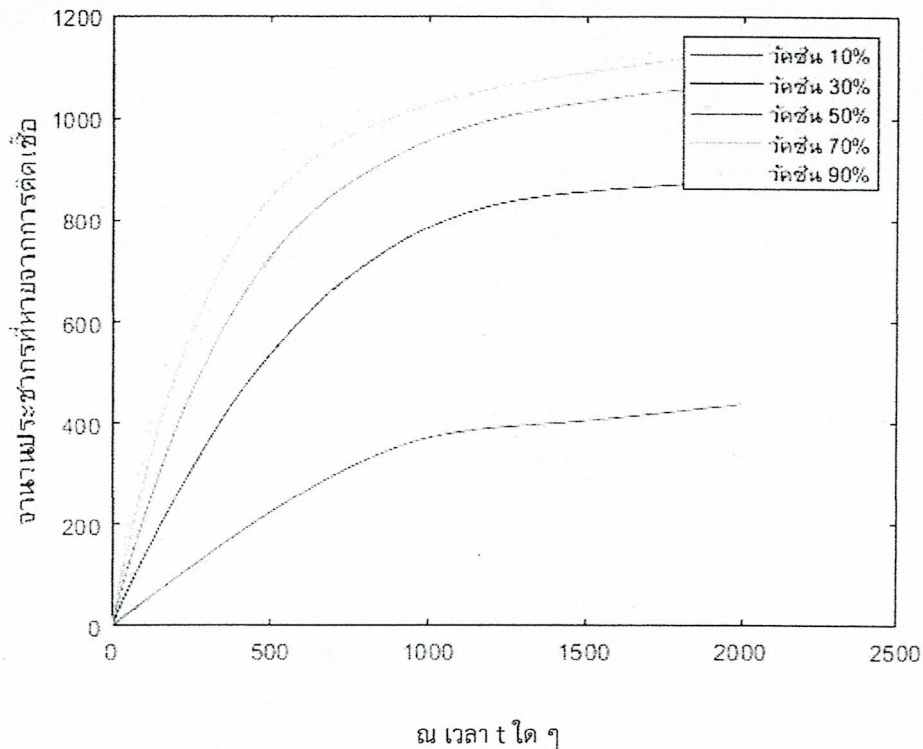
ณ เวลา  $t$  ไต ๆ

รูปที่ 4 อัตราการเปลี่ยนแปลงของจำนวนประชากรที่ติดเชื้อ แต่ไม่แสดงอาการ ( $E$ ) ณ เวลา  $t$  ไต ๆ เมื่อค่า  $\Phi = 0.1, 0.3, 0.5, 0.7$  และ  $0.9$  ตามลำดับ ณ เสถียรภาพของจุดสมดุลที่มีโรค



ณ เวลา  $t$  ไต ๆ

รูปที่ 5 อัตราการเปลี่ยนแปลงของจำนวนประชากรที่ติดเชื้อ ( $I$ ) ณ เวลา  $t$  ไต ๆ เมื่อค่า  $\Phi = 0.1, 0.3, 0.5, 0.7$  และ  $0.9$  ตามลำดับ ณ เสถียรภาพของจุดสมดุลที่มีโรค



รูปที่ 6 อัตราการเปลี่ยนแปลงของจำนวนประชากรที่หายจากการติดเชื้อ ( $R$ ) ณ เวลา  $t$  ใด ๆ เมื่อค่า  $\Phi = 0.1, 0.3, 0.5, 0.7$  และ  $0.9$  ตามลำดับ ณ เสถียรภาพของจุดสมดุลที่มีโรค

### ผลการวิจัยและอภิปราย

ตัวแบบเชิงคณิตศาสตร์ที่ใช้ในการวิจัยในครั้งนี้ คือ ระบบสมการเชิงอนุพันธ์แบบไม่เชิงเส้น ซึ่งประกอบด้วย ประชากรที่เสี่ยงต่อการติดเชื้อ ประชากรที่ติดเชื้อแต่ไม่สามารถแพร่เชื้อได้ ประชากรที่ติดเชื้อและสามารถแพร่เชื้อได้ ประชากรที่หายป่วยจากโรค ซึ่งผู้วิจัยได้เพิ่มค่าพารามิเตอร์อัตราการฉีดวัคซีนป้องกันการแพร่ระบาดของโรคไวรัสตับอักเสบบี ( $\alpha$ ) เป็นปัจจัยสำคัญในตัวแบบเชิงคณิตศาสตร์ แล้วใช้วิธีการวิเคราะห์วิธีมาตรฐาน และการวิเคราะห์เชิงตัวเลขสำหรับ ตรวจสอบการแพร่ระบาดของโรคไวรัสตับอักเสบบี

ผู้วิจัยได้พิจารณาจุดสมดุลที่ไม่มีโรค และจุดสมดุลมีโรค โดยการวิเคราะห์จุดสมดุลและเสถียรภาพของจุดสมดุลด้วย วิธีการวิเคราะห์วิธีมาตรฐาน ซึ่งค่าเสถียรภาพของระบบ Local Asymptotically State ที่ได้ต้องเป็นไปตามเงื่อนไขของ Routh-Hurwitz เพื่อให้สามารถหาค่าระดับการติดเชื้อ ( $R_0$ ) ซึ่งมีความจำเป็นภายใต้เงื่อนไข เพื่อให้ Local Asymptotically Stability of Equilibrium State ที่มีเสถียรภาพ ในส่วนของจุดสมดุลไม่มีโรค และจุดสมดุลที่มีโรคที่มีการแพร่ระบาดของโรค

โดยที่  $R_0 = \frac{\omega\sigma N\theta}{(\theta + \beta)(\epsilon + \beta)(\alpha + \beta)}$  สามารถพิจารณาค่าระดับการติดเชื้อ ( $R_0$ ) โดยค่า  $R_0 < 1$  วิเคราะห์ได้ว่า ณ จุด

สมดุลจะไม่เกิดโรคจึงไม่เกิดการแพร่ระบาด และค่า  $R_0 > 1$  วิเคราะห์ได้ว่า ณ จุดสมดุลมีการติดเชื้อจึงเกิดการแพร่ระบาดของโรค (Sukawat, & Naowarat, 2014) จากการวิเคราะห์ พบว่า จุดทั้งสองเป็น Local Asymptotically State ซึ่งอัตราการฉีดวัคซีนป้องกันการแพร่ระบาดของโรคไวรัสตับอักเสบบี  $\alpha = 0.1, 0.3, 0.5, 0.7, 0.71, 0.72, 0.73, 0.731, 0.7319, 0.732, 0.9$  และ  $1.0$  ตามลำดับ จะพบว่า ค่าระดับการติดเชื้อ  $R_0 = 7.31805, 2.43964, 1.46381, 1.04559, 1.03086, 1.01655, 1.00262, 1.00125, 1.00002, 0.99988, 0.81324$  และ  $0.73192$  ตามลำดับ

จากการวิจัย พบว่า อัตราการฉีดวัคซีนป้องกันการแพร่ระบาดของโรคไวรัสตับอักเสบบี ( $\alpha$ ) เป็นปัจจัยที่ส่งผลต่อการควบคุมการแพร่ระบาดของโรค ซึ่งยังสอดคล้องกับผลงานวิจัยอื่นได้แก่ การวิจัยเรื่องตัวแบบเชิงคณิตศาสตร์ SEIR สำหรับการควบคุมการแพร่ระบาดของโรคอีสุกอีใสโดยการณรงค์ให้ความรู้ (อนุวัตร จิรวัดนพานิช, 2560) พบว่า ประสิทธิภาพการ

รณรงค์ให้ความรู้เป็นปัจจัยที่ส่งผลต่อการควบคุมการแพร่ระบาดของโรค โดยพบว่า ถ้าประชากรที่เสี่ยงต่อการติดเชื้อมีความรู้เกี่ยวกับการป้องกันโรคน้อย จะส่งผลให้เกิดการแพร่ระบาดของโรคเพิ่มขึ้น และถ้าประชากรเสี่ยงต่อการติดเชื้อมีความรู้เกี่ยวกับการป้องกันโรคเป็นจำนวนมากขึ้นจะส่งผลให้การแพร่ระบาดของโรคลดลง ซึ่งผลของการวิจัยนี้ พบว่า ถ้าประชากรที่เสี่ยงต่อการติดเชื้อไวรัสตับอักเสบ บี จำนวนน้อยได้รับวัคซีนป้องกันโรคไวรัสตับอักเสบ บี จะส่งผลให้การแพร่ระบาดของโรคเพิ่มขึ้น และถ้าประชากรที่เสี่ยงต่อการติดเชื้อไวรัสตับอักเสบ บี มีจำนวนเพิ่มขึ้นที่ได้รับวัคซีนป้องกันโรคไวรัสตับอักเสบ บี จะส่งผลให้การแพร่ระบาดของโรคลดลง ดังนั้นสามารถนำผลจากการวิจัยตัวแบบเชิงคณิตศาสตร์การควบคุมการแพร่ระบาดของโรคไวรัสตับอักเสบ บี โดยการฉีดวัคซีน ในจังหวัดภูเก็ต ใช้เป็นข้อมูลเบื้องต้นในการป้องกันโรคไวรัสตับอักเสบ บี เพื่อลดจำนวนผู้ป่วยและใช้เป็นข้อมูลทางวิชาการให้กับหน่วยงานที่เฝ้าระวังของสำนักโรคระบาดวิทยา กรมควบคุมโรค กระทรวงสาธารณสุข รวมทั้งนำเสนอข้อมูลต่อหน่วยงานด้าน สาธารณสุขดำเนินมาตรการควบคุมและป้องกันการแพร่ระบาดของโรคไวรัสตับอักเสบ บี โดยการฉีดวัคซีนป้องกันโรคไวรัสตับอักเสบ บีแก่ประชาชนที่เสี่ยงต่อการติดเชื้อ

### ข้อเสนอแนะ

1. ตัวแบบเชิงคณิตศาสตร์ที่ได้จากการศึกษาในครั้งนี้สามารถนำไปประยุกต์ใช้กับโรคชนิดอื่น ที่มีลักษณะการแพร่ระบาดของโรคล้ายกับโรคไวรัสตับอักเสบ บี ได้
2. สามารถวิจัยและศึกษาองค์ประกอบอื่น ๆ ที่มีผลต่อการควบคุมการแพร่ระบาดของโรคไวรัสตับอักเสบ บี โดยการเพิ่มค่าพารามิเตอร์อื่น ๆ ได้แก่ การรณรงค์ให้ความรู้ การสวมหน้ากากอนามัย เป็นต้น

### กิตติกรรมประกาศ

ผู้วิจัยขอขอบคุณ อาจารย์อนุรักษ์ วีระประเสริฐสกุล ผศ.ดร.บัณฑิตย์ อ้นยงค์ นายนพดล แก้วมณีพิทักษ์ ที่ได้ให้คำปรึกษาและข้อมูลเพื่อใช้ในการวิจัย และขอบคุณอาจารย์ในสาขาวิชาคณิตศาสตร์ประยุกต์ คณะวิทยาศาสตร์ มหาวิทยาลัยราชภัฏภูเก็ต ที่ให้การสนับสนุน ให้คำปรึกษา และสถานที่ในการดำเนินการจัดทำวิจัยจนสำเร็จลุล่วงไปด้วยดี

### เอกสารอ้างอิง

- กระทรวงสาธารณสุขจังหวัดภูเก็ต. (2563). *ไวรัสตับอักเสบ บี*. ขอข้อมูลเมื่อ 9 กันยายน 2563.  
เกรียงไกร ราชกิจ. (2557). *การมีเสถียรภาพและค่าเหมาะสมที่สุดของแบบจำลองระบบประสาท*.  
เชียงใหม่: มหาวิทยาลัยแม่โจ้.
- แคทลียา ดวงเกต. (2556). 20 คำถามสำคัญของคณิตศาสตร์ (พิมพ์ครั้งที่ 2). (น. 247-248). กรุงเทพฯ: มติชน.  
บัณฑิตย์ อ้นยงค์. (2558). *ตัวแบบเชิงคณิตศาสตร์สำหรับการแพร่ระบาดของโรคไข้เลือดออกโดยใช้การรณรงค์ให้ความรู้ กรณีศึกษาจังหวัดภูเก็ต*. ภูเก็ต: มหาวิทยาลัยราชภัฏภูเก็ต.
- โรงพยาบาลขอนแก่น ราม. (2563). *วัคซีน หลากเรื่องน่ารู้*. ค้นเมื่อ 2 สิงหาคม 2563, จาก <http://www.khonkaenram.com/th/services/health-information/health-articles/vaccine>.
- โรงพยาบาลกรุงเทพ ทรрад. (2563). *ไวรัสตับอักเสบ บี ก่อมะเร็ง*. ค้นเมื่อ 2 สิงหาคม 2563, จาก <https://bth.co.th/th/info-graphic-th/item/1130-hepatitis.html>.
- โรงพยาบาลสมิติเวชไชน่าทาวน์. (2563). *ไวรัสตับอักเสบ บี อันตรายกว่าที่คุณคิด*. ค้นเมื่อ 30 กรกฎาคม 2563, จาก <https://www.samitivejchinatown.com/th/health-article/Viral-Hepatitis-B>.
- สุกัลยา ศรีสุริฉัน. (2559). *การสร้างตัวแบบเชิงคณิตศาสตร์*. ค้นเมื่อ 19 สิงหาคม 2563, จาก [http://elearning.nsr.ac.th/web\\_elearning/math\\_model/](http://elearning.nsr.ac.th/web_elearning/math_model/)
- ศูนย์ข้อมูลโรคติดเชื้อและพาหะนำโรค. (2562). *ไวรัสตับอักเสบ บี*. ค้นเมื่อ 30 กรกฎาคม 2563, จาก [https://webdb.dmsc.moph.go.th/ifc\\_nih/ez.mm\\_main.asp](https://webdb.dmsc.moph.go.th/ifc_nih/ez.mm_main.asp).
- อนุวัตร จิรวัดนพามนิช, วันชัย ทัพพะปุระณะ และเจษฎา สุจริตธนะการ. (2559ก). *ตัวแบบเชิงคณิตศาสตร์การควบคุมการแพร่ระบาดของไข้หวัดใหญ่โดยการสวมหน้ากากอนามัย*. ใน *การประชุมวิชาการระดับชาติมหาวิทยาลัยราชภัฏสงขลา ครั้งที่ 6*, 15-16 สิงหาคม 2559. สงขลา: มหาวิทยาลัยราชภัฏสงขลา
- อนุวัตร จิรวัดนพามนิช, อนุรักษ์ วีระประเสริฐสกุล, สุดาทิพย์ หาญเชิงชัย และจุฬาลักษณ์ ใจอ่อน. (2560). *ตัวแบบเชิงคณิตศาสตร์ SEIR สำหรับการควบคุมการแพร่ระบาดของโรคอีสุกอีใสโดยการรณรงค์ให้ความรู้* (รายงานการวิจัย). ภูเก็ต : มหาวิทยาลัยราชภัฏภูเก็ต

การประชุมวิชาการระดับชาติ ครั้งที่ 11 ปีการศึกษา 2563

หัวข้อ "Community-led Social Innovation in the Era of Global Changes amidst Covid-19 Crisis: นวัตกรรมทางสังคมของชุมชนในยุคของการเปลี่ยนแปลงโลกท่ามกลางวิกฤตโควิด-19"  
19 กุมภาพันธ์ 2564 วิทยาลัยเทคโนโลยีภาคใต้

---

อนุวัตร จิรวินนพานิช. (2562). *ตัวแบบเชิงคณิตศาสตร์การควบคุมการแพร่ระบาดของโรคไวรัสตับอักเสบบี โดยการรณรงค์ให้ความรู้*. ภูเก็ต: มหาวิทยาลัยราชภัฏภูเก็ต

Brauer, F., Van den Driessche, P, & Wu, J. (Eds) (2008). *Mathematical Epidemiology*. ค้นเมื่อ 19 สิงหาคม 2563, จาก <https://link.springer.com/book/10.1007%2F978-3-540-78911-6>

Sukawat, J., & Naowarat, S. (2014). Effect of Rainfall on the transmission Model of Conjunctivitis. *Advanced in Environmental, Biology*, 8(14), 99-104.